

کنترل ایمنی سازه ای مهار شده به شکل خارج از مرکز توسط تحلیل استاتیکی غیرخطی

* رامین روش، فارغ التحصیل کارشناسی ارشد مهندسی زلزله پژوهشگاه
* عبدالرضا سروقدمقدم، استادیار پژوهشکده مهندسی سازه پژوهشگاه

۱- چکیده

سیستم سازه ای ترکیبی است که سختی قاب مهاربندی هم مرکز (Concentric Braced Frame) را با شکل پذیری و قدرت جذب انرژی (Moment Resisting Frame) ترکیب می کند. قاب مقاوم خمشی (Moment Resisting Frame) در این سیستم حداقل یک انتهای هر مهاربند به یک قسمت مجزای تیر به نام تیر پیوند (Link Beam) متصل می شود. در یک طرح سیستم مهاربندی خارج از مرکز مطلوب، رفتار غیرخطی تحت بارگذاری تناوبی شدید، ابتدا توسط تیر پیوند جذب می شود. تیرهای پیوند مانند فیوزهای شکل پذیری (با محدود کردن نیروهای انتقالی یافته به مهاربندها و سایر اعضای قاب) عمل کرده، سبب رفتار هیسترزیس قابل پیش بینی و پایدار تحت بارگذاری تناوبی می شوند [۱].

در این بررسی یک قاب مهاربندی خارج از مرکز انتخاب شده است که مشخصات هندسی و مقاطع آن به ترتیب در شکل و جدول (۱) مشاهده می شود. برای برآوردن نیروهای ثقلی و زلزله به ترتیب از آیین نامه ۵۱۹ و استاندارد ۲۸۰۰ ایران (ویرایش جدید) استفاده شده است. ساختمان به روش ارجاعی خطی و با استفاده از نرم افزار SAP90 تحلیل شده است. عناصر ساختمانی به روش تنش مجاز

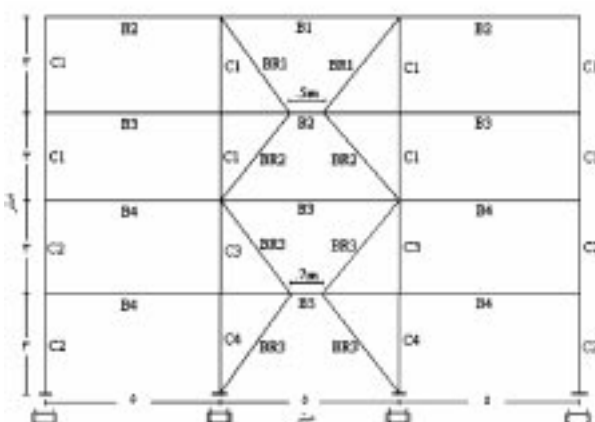
رفتار واقعی ساختمانها تحت نیروهای شدید زلزله غیرخطی است؛ بنابراین، لزوم انجام تحقیقات با مدنظر قرار دادن رفتار غیرخطی و بارگذاری واقعی آشکار می شود. عدم توجیه مسائل اقتصادی برای تحلیل تاریخچه زمانی غیرخطی لزوم بکارگیری یک روش غیرخطی ساده شده را مشخص می کند. از میان روشهای غیرخطی ساده شده پیشنهادی برای آیین نامه های آینده، تحلیل استاتیکی غیرخطی بسادگی رفتار غیرخطی سازه را شبیه سازی کرده و به عنوان ارزاری مفید در ارزیابی لرزه ای ساختمانها، توجه پژوهشگران را به خود جلب کرده است. در این مقاله، کاربرد تحلیل استاتیکی غیرخطی برای یک قاب مقارن کوتاه مرتبه با سیستم مهاربندی خارج از مرکز مورد بررسی، تجزیه و تحلیل قرار گرفته است.

۲- مقدمه

طرح لرزه ای آیین نامه بر اساس مدل های فیزیکی ساده شده، قضاویت مهندسی و تعدادی ضرایب تجربی استوار است که گاه به عدم انعطاف روند طراحی منجر می شود. در این راستا، ظرفیت و تقاضای لرزه ای ساختمان بوضوح بیان نشده و رفتار ساختمان در زلزله طرح که معمولاً باعث تغییر شکلهای غیر ارجاعی می شود بسیار نامشخص است. علت بکارگیری این روش طراحی، درک و اجرای نسبتاً آسان آن می باشد. اما، در این روش به دلیل وجود مسائل مذکور سطح ایمنی محدود شده و ممکن است به طرھایی با ایمنی نامناسب منجر شود؛ بنابراین، برای شناخت خصوصیات مد انهدام ساختمان به روشهای تحلیلی غیرخطی نیاز می شود. تحلیل استاتیکی غیرخطی از روشهایی است که می تواند در ارزیابی لرزه ای ساختمانها مفید باشد.

۳- قاب مورد مطالعه

سیستم مهاربندی خارج از مرکز (Eccentric Braced Frame)

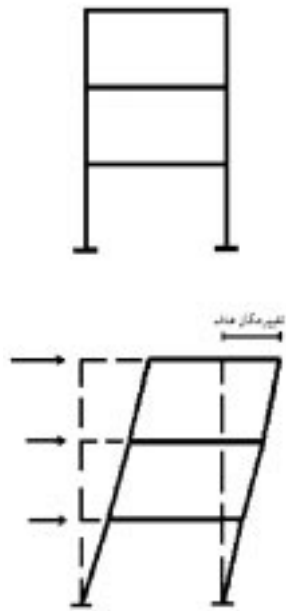


شکل (۱): مشخصات هندسی

جدول (۱): مشخصات مقاطع

نماد	قطع	نماد	قطع
B4	2U80 []	BR1	2IPE160+2PL120x10
B5	2U120 []	BR2	2IPE180+2PL160x14
C1	2U140 []	BR3	2IPE140
C2	IPE160	B1	2IPE140+2PL70x10
C3	2IPE160+2PL50x6	B2	2IPE140+2PL100x10
C4	2IPE160+2PL80x10	B3	2IPE140+2PL120x15

ززله به سازه اعمال می‌گردد). در محل جرم‌های قابل ملاحظه در ساختمان قرار گرفته، بارهای جانبی تا رسیدن ساختمان به تغییرشکل مورد انتظار در ززله طرح (تغییرمکان هدف) به تدریج افزایش-می‌یابند. در این حالت، نیروهای اعضا و تغییرشکلهای کلی و موضعی سازه (تخمینی از تجربه سازه در ززله طرح است) محاسبه-می‌شوند. در پایان به منظور کنترل ایمنی و در صورت نیاز برای رفع نقاط ضعف سیستم سازه از این ارزیابیها استفاده می‌شود [۳]. مراحل اصلی تحلیل استاتیکی غیرخطی در شکل (۲) شامل انتخاب مدل سازه چند درجه آزاد (Multi Degrees of Freedom)، تعیین تغییرمکان هدف برای سازه مذکور، اعمال الگوی بار انتخابی به سازه چند درجه آزاد تا رسیدن به تغییرمکان هدف و محاسبه پارامترهای پاسخ مورد نیاز در تغییرمکان هدف مشاهده می‌شود. اطلاعات تکمیلی در مورد اهداف، نقاط ضعف و قوت تحلیل استاتیکی غیرخطی در مرجع [۴] بیان شده است.



شکل (۲): مراحل اصلی تحلیل استاتیکی غیرخطی

۱-۵- تغییرمکان هدف

ارزیابی نتایج تحلیل استاتیکی غیرخطی معمولاً در حداکثر تغییرمکان بامی که سازه در ززله طرح تجربه می‌کند انجام می‌شود. مقایسه تحلیلهای دینامیکی ارجاعی خطی (مقاومت‌بی‌نهایت) و غیرارجاعی نشان می‌دهد که تغییرمکانهای حداکثر ساختمانهای با پریود متوسط تا بلند در تحلیلهای خطی و غیرخطی تقریباً یکسان-می‌باشند؛ بنابراین، برای تخمین تغییرمکان هدف تحلیل استاتیکی

با استفاده از آیین نامه AISC و بدون اعمال فلسفه طرح ظرفیت طراحی شده اند. مدلسازی غیرخطی قاب موردنظر توسط برنامه DRAIN-2DX انجام شده است. اطلاعات تکمیلی در مورد نحوه طراحی ساختمان در مرجع [۲] بیان شده است. در طراحی سیستم مهاربندی خارج از مرکز، استفاده از تیپ پیوند کوتاه با تسیلیم بر بشی برتری دارد؛ لذا، تیپ پیوند برای تسیلیم در برداش طراحی می‌گردد. همچنین در آرایش مهاربند انتخابی نیروی محوری در تیپ ایجاد نمی‌شود و تمام مقاومت خمی تیپ برای مقاومت در برابر لنگرهای انتهایی پیوند باقی می‌ماند.

۴- نگاشتهای انتخابی

برای تحلیل دینامیکی، سه ززله معروف طبس، ناغان و منجیل انتخاب شده است. این زلزله‌ها به دلیل پراکندگی جغرافیایی دارای ویژگیهای زمین ساختی ایران می‌باشند. همچنین از زلزله ال‌سنتر و به عنوان معیار جهانی دو زلزله کرن کانتی و سانفرناندو نیز استفاده شده است. مشخصات این نگاشتها در جدول (۲) ارائه و به منظور ایجاد زمینه‌ای برای مقایسه نتایج همه نگاشتها به مقیاس ۳۵۸/۳، همپایه شده اند.

جدول (۲): مشخصات نگاشتهای انتخابی

ردیف	ایستگاه	سال وقوع (شمسی)	ییشینه شتاب زمین (g)
۱	ال سنتر	۱۳۱۹	.۳۵/۰
۲	کرن کانتی	۱۳۳۱	.۱۸/۰
۳	سانفرناندو	۱۳۵۰	.۲۱/۰
۴	ناغان	۱۳۵۶	.۷۲/۰
۵	طبس	۱۳۵۷	.۹۳/۰
۶	منجیل	۱۳۶۹	.۵۵/۰

۵- تحلیل استاتیکی غیرخطی

تحلیل استاتیکی غیرخطی یک روش تحلیلی ساده شده برای ارزیابی عملکرد ساختمان هنگام ززله است. در این روش، ساختمان طرح شده تحت الگوی بارگذاری مشخص (تقریباً معادل نیروی اینرسی که هنگام

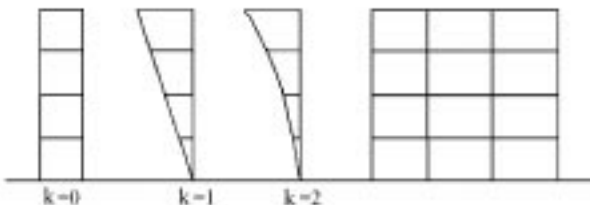
۲- الگوی بار اصلاح شده [۵]: در این روش از یک توزیع بار اصلاح- شده بر اساس بردارهای حالت ساختمان استفاده می شود تا بیانگر تغییر در توزیع بارهای جانبی، حالات مختلف تغییرشکل و انعکاس مدهای بالاتر باشد. نیروی جانبی طبقه i با رابطه (۱) محاسبه می شود:

$$P_i = \frac{W_i h_i^k}{\sum_{j=1}^N W_j h_j^k} \cdot V_b \quad (1)$$

در رابطه (۱)، V_b برش پایه، W_i وزن، h_i ارتفاع، P_i برش طبقه و k شاخصی است که حالت توزیع بار جانبی را کنترل می کند و تابعی از پریود اصلی سازه می باشد. رابطه (۲) نحوه محاسبه شاخص k را ارائه می دهد:

$$1 \leq k = I + \frac{(T-0.5)}{2} \leq 2 \quad (2)$$

توزیع بار جانبی تابعی از دامنه k می باشد. به عنوان مثال، اشر مقادیر مختلف k بر تحویه توزیع بار جانبی در شکل (۴) مشاهده می شود و عبارتند از:



شکل (۴): توزیع بار جانبی برای مقادیر مختلف k

$k=0$: مقدار ثابت شتاب (توزیع بار جانبی یکنواخت)؛

$k=1$: تغییرخطی شتاب (توزیع بار مثلثی معکوس)؛

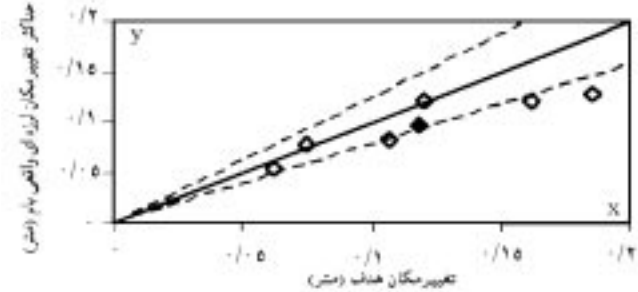
$k=2$: منحنی درجه دو شتاب (توزیع بار سهمی).

۳- الگوی بار طیفی: الگوی بار طیفی متناظر با حداکثر نیروی طبقات حاصل از تحلیل دینامیکی طیفی به روش ترکیب مربعی کامل (Complete Quadratic Combination) می باشد. در این روش، تحلیل دینامیکی با فرض رفتار ارجاعی خطی ساختمان و با استفاده از حداکثر بازتاب کلیه مدهای نوسانی آن انجام می شود که حداکثر بازتاب در هر مدبأ توجه به زمان تناوب آن مدار طیف طرح به دست می آید و سپس بازتاب کلی ساختمان از ترکیب آماری بازتابهای حداکثر هر مد تخمین زده می شود [۶].

۴- مقایسه الگوهای بار انتخابی

الگوهای بار انتخابی در شکل (۵) طوری همپایه شده اند تا برش پایه آنها برابر واحد (عدد یک) شود. در این شکل با توجه به ارتعاش

غیرخطی به جای استفاده از میانگین تغییرمکانهای لرزه ای واقعی بام حاصل از تحلیل تاریخچه زمانی غیرخطی زمین لرزه های مختلف، می توان از میانگین تغییرمکانهای بام سازه حاصل از تحلیل تاریخچه زمانی ارجاعی زمین لرزه های متفاوت استفاده کرد. برای کنترل صحت این موضوع، تغییرمکانهای بام حاصل از این دو تحلیل در قاب مورد مطالعه با یکدیگر مقایسه می شوند. ارتباط بین تغییرمکانهای هدف بر اساس تحلیلهای دینامیکی ارجاعی با تغییرمکانهای لرزه ای واقعی بام ساختمان حاصل از تحلیلهای تاریخچه زمانی غیرخطی در شکل (۳) مشاهده می شود. در نمودار این شکل، محور X بیانگر حداکثر تغییرمکان بام حاصل از تحلیلهای تاریخچه زمانی ارجاعی و محور Y بیانگر حداکثر تغییرمکان لرزه ای بام حاصل از تحلیلهای دینامیکی غیرخطی برای قاب مورد نظر است. بنابراین هر نقطه در نمودار، بیانگر مقادیر مذکور برای یک نگاشت خاص است و خطوط منقطع بیانگر تفاوت به میزان $\pm 2\%$ درصد می باشند. با توجه به شکل (۳)، در قاب مورد مطالعه فرض رفتار ارجاعی به نتایج محافظه کارانه ای از تغییرمکان حداکثر بام منجر می شود، برای افزایش دقیق این نتیجه می توان از میرایی بالاتری در تحلیل دینامیکی ارجاعی قاب مذکور استفاده کرد.

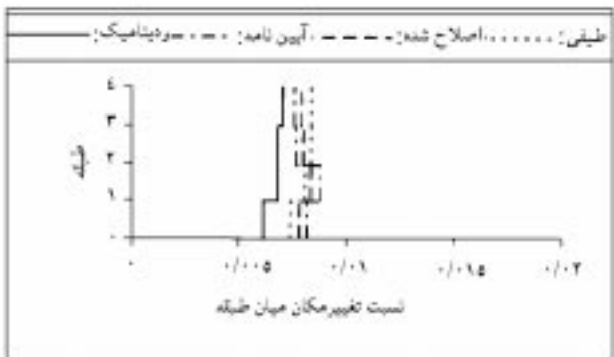


شکل (۳): مقایسه تغییرمکان بام حاصل از تحلیلهای دینامیکی ارجاعی و غیرخطی

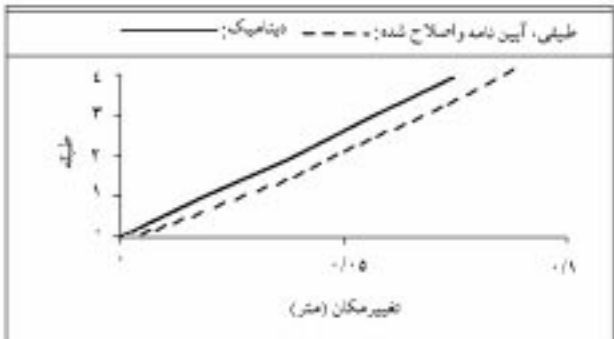
۵- توزیع بار جانبی

تحویه توزیع بار جانبی در تحلیل استاتیکی غیرخطی بر صحت نتایج تأثیر می کزارد. در حقیقت این توزیع بیانگر نیروی اینرسی جانبی است که به شدیدترین پاسخها در ساختمان منجر می شود. در این مقاله به منظور ارزیابی میزان حساسیت نتایج نسبت به الگوی بار انتخابی از سه الگوی بار ثابت استفاده می شود. این الگوها عبارتند از:

- ۱- الگوی بار استاتیکی معادل آین نامه: این الگو حاصل توزیع نیروی جانبی پیشنهادی در آین نامه طرح ساختمانها در برابر زلزله است. در این روش نیروی جانبی زلزله بر مبنای زمان تناوب اصلی نوسان ساختمان و با استفاده از طیف بازتاب طرح تعیین می شود.



شکل (۶، آلف): مقایسه نحود توزیع نسبت تغییر مکان میان طبقه در ارتفاع ساختمان حاصل از تحلیلهای غیرخطی استاتیکی و دینامیکی



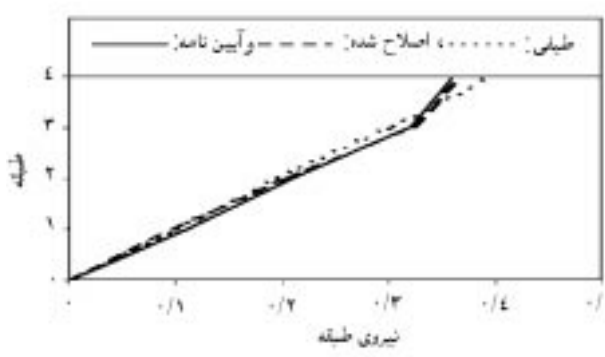
شکل (۶، ب): مقایسه نحود توزیع تغییر مکان در ارتفاع ساختمان حاصل از تحلیلهای غیرخطی استاتیکی و دینامیکی با حفظ رفتار ارتجاعی ستونها به توزیع یکنواخت تغییر مکان میان طبقه در ارتفاع ساختمان منجر می شود.

۷- میزان حساسیت نتایج تحلیل استاتیکی غیرخطی به تغییر مکان هدف

تحلیل استاتیکی غیرخطی نسبت به نوع الگوی بار جانبی حساس است و از بین الگوهای بار مورد استفاده توزیع بار طیفی به روش ترکیب مربوعی کامل بهترین تقریب را از تحلیل دینامیکی غیرخطی ارائه می دهد. بنابراین، به منظور کنترل حساسیت مدل نسبت به تغییر مکان هدف، از توزیع بار مذکور که تقریب بهتری از نسبت تغییر مکان میان طبقه قاب مورد مطالعه ارائه می دهد استفاده می شود و تغییر مکانهای هدف متفاوتی برای انجام تحلیل استاتیکی غیرخطی در نظر گرفته می شوند.

۷-۱- نسبت تغییر مکان میان طبقه

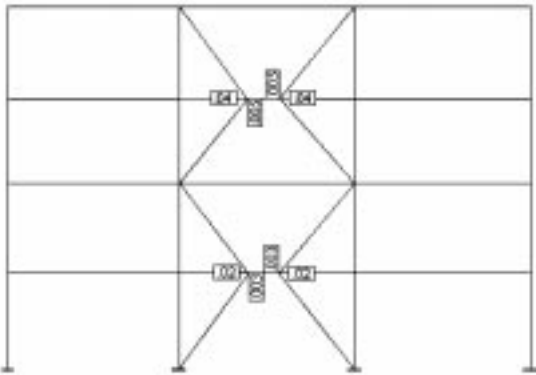
نسبت تغییر مکان میان طبقه حاصل از تحلیل استاتیکی غیرخطی برای تغییر مکانهای هدف متفاوت در شکل (۷) ارائه شده است که با میانگین حداقل نسبت تغییر مکان میان طبقه حاصل از تحلیل دینامیکی غیرخطی مقایسه می شوند. بنابراین؛ مشاهده می شود



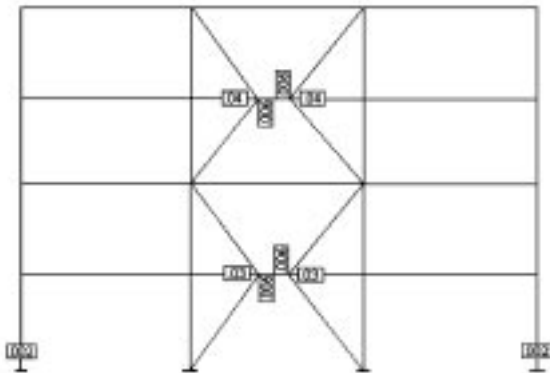
شکل (۶): توزیعهای بار جانبی برای استفاده در تحلیل استاتیکی غیرخطی غالب ساختمان در مد اصلی، توزیعها از شکل ظاهری نسبتاً یکسانی تبعیت می کنند. کاهش شدت بار آین نامه در طبقه فوقانی قاب به دلیل ارتباط مستقیم این توزیع با وزن و ارتفاع طبقات است. الگوی بار طیفی متناظر با جرم و سختی طبقات توزیع می شود؛ ولی، بیانگر کاهش جرم و سختی در طبقه فوقانی نمی باشد. علت این امر وجود مقاطع محافظه کارانه در طبقه فوقانی قاب است که سبب حفظ روند خطی توزیع بار طیفی در این طبقه می شود.

۶- شاخصهای مرتبط با تغییر مکان

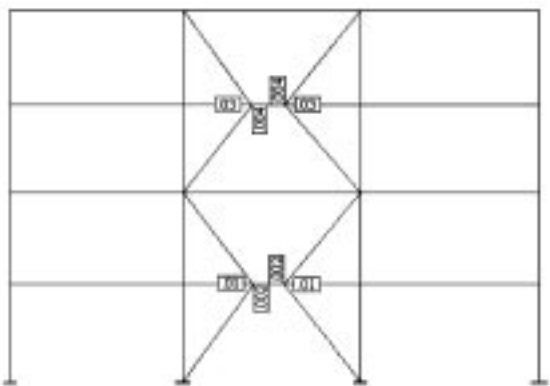
در تخمین رفتار واقعی ساختمان هنگام وقوع زمین لرزه شاخصهای تغییر مکان و تغییر مکان میان طبقه نسبت به سطح نیرو در اعضا از اهمیت پیشتری برخوردار می باشند؛ زیرا، زمان وقوع زمین لرزه نیروهایی چندین برابر نیروهای طراحی به ساختمان وارد می شود که این نیروی اضافی با افزایش مقاومت و شکل پذیری کنترل می شود. بنابراین حتی زمین لرزه های متوسط می توانند ساختمان را به محدوده غیرخطی هدایت کنند که در این ناحیه به دلیل باز توزیع نیرو در اعضا، سطح نیرو در عضو از اهمیت کمتری برخوردار است. نتایج تغییر مکان و نسبت تغییر مکان میان طبقه حاصل از میانگین تحلیلهای دینامیکی غیرخطی و تحلیل استاتیکی غیرخطی در شکل (۶ الف و ب) مقایسه می شوند. در این شکل تحلیل استاتیکی غیرخطی تخمینی دست بالا، اما نسبتاً خوب از رفتار واقعی ساختمان ارائه می دهد؛ زیرا میانگین مقادیر تغییر مکان هدف مورد استفاده برای تحلیل استاتیکی غیرخطی پیشتر از میانگین حداقل تغییر مکان با محدوده تحلیلهای دینامیکی غیرخطی می باشد. تغییر مکان میان طبقه تقریباً به طور یکنواخت در ارتفاع ساختمان توزیع می شود که علت آن عدم توزیع مفاصل در ستونها و جذب انرژی اعمالی در تیرپیوند می باشد. قاب یاد شده به طور غیرمستقیم از فلسفه تیر ضعیف- ستون قوی تبعیت می کند و



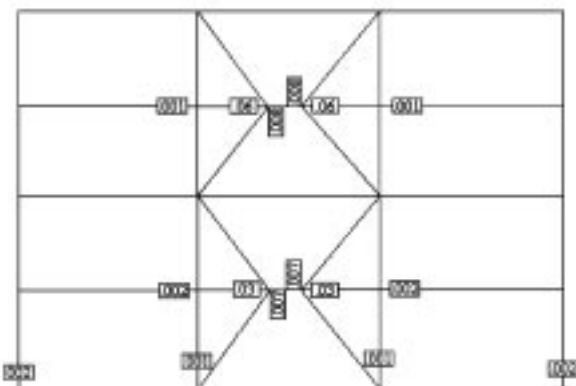
شکل (۸، االف): نحوه توزیع و دامنه چرخش مفاصل پلاستیک- زمین لرزه ناغان



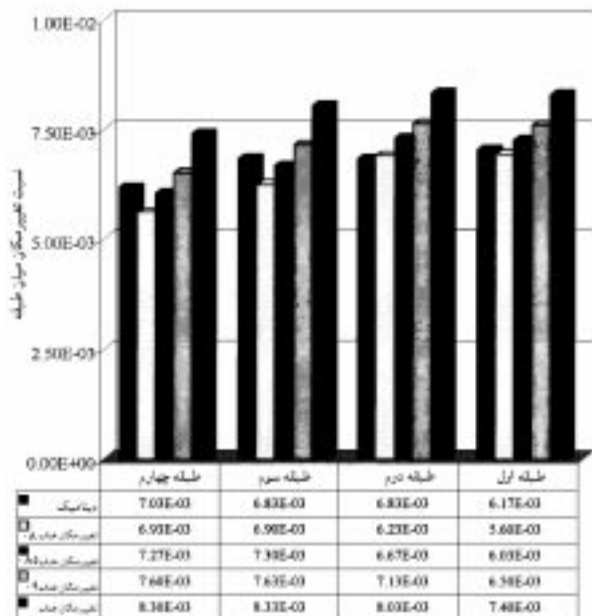
شکل (۸، ب): نحوه توزیع و دامنه چرخش مفاصل پلاستیک- زمین لرزه طبس



شکل (۸، ب): نحوه توزیع و دامنه چرخش مفاصل پلاستیک- زمین لرزه منجبل



شکل (۸، ت): نحوه توزیع و دامنه چرخش مفاصل پلاستیک- زمین لرزه کرون



شکل (۷): مقایسه نسبت تغییر مکان میان طبقه حاصل از تحلیل استاتیکی غیرخطی بر اساس تغییر مکانهای هدف متفاوت با نتایج تحلیل دینامیکی غیرخطی

استفاده از ۸۵٪ تغییر مکان هدف در تحلیل استاتیکی غیرخطی، بهترین تقریب را از تحلیل دینامیکی غیرخطی ارائه می کند.

۲-۷ - چرخش مفاصل پلاستیک

در ساختمانهایی که به هنگام زمین لرزه رفتار غیرخطی دارند میزان تغییر شکل پلاستیک، شاخص مناسبی از رفتار است. جاری شدنها کلی در اطراف اتصالات تیر به ستون ممکن است در دو انتهای تیر، ستون (بالا و پایین اتصال) و چشمۀ اتصال رخ دهد. بنابراین؛ تقاضاهای کلی، میزان چرخش مفاصل پلاستیک در تیرها، ستونها و کجی و پیچیدگی پلاستیک (در اثر تنفس برشی) چشمۀ اتصال می باشند [۷]. دامنه و موقعیت مکانی چرخش مفاصل پلاستیک قاب مورد نظر تحت زمین لرزه های متفاوت با نتایج تحلیل استاتیکی غیرخطی حاصل از الگوی بار طیفی و ۸۵٪ تغییر مکان هدف به ترتیب در شکلهای (۸، الف- ج) و (۹) مقایسه می شوند. در قاب موردنظر تحلیل استاتیکی غیرخطی بر اساس الگوی بار طیفی تخمین خوبی از نحوه توزیع خسارت ارائه می دهد. تیربیوند همانند یک فیوز شکل پذیر سبب اتلاف انرژی در قاب می شود. دامنه چرخش مفاصل پلاستیک اعضای خارج از تیر پیوند حتی در شرایط بحرانی از حد مجاز (۰.۲٪ رادیان) تجاوز نمی کند. جذب انرژی اعمالی زلزله توسط تیرپیوند و بکارگیری مهاربند خارج از مرکز در قاب خمی از دلایل اصلی این پدیده می باشد.

۸۵/۰ در تغییر مکان هدف و استفاده از الگوی بار طیفی قاب مورد مطالعه باعث بهبود نتایج می شود. به طور کلی تحلیل استاتیکی غیر خطی سیستم مهاربندی خارج از مرکز مورد مطالعه، تقریب خوبی از تحلیل دینامیکی غیر خطی ارائه می دهد.

۹- مراجع

1-Engelhardt, M. D. & Popov, E. P. (1989), "On Design of Eccentrically Braced Frames", Earthquake Spectra, Vol. 5, No. 3, PP. 495-511.

۲- روشن، رامین. "ارزیابی نتایج آنالیزهای غیرخطی استاتیکی و دینامیکی در ساختمانهای فولادی کوتاه مرتبه دارای سیستم های مهاربندی متفاوت"، پایان نامه کارشناسی ارشد، پژوهشگاه بین المللی زلزله شناسی و مهندسی زلزله، ۱۳۷۸.

3-Krawinkler, H. (1996), "Pushover Analysis: Why, How, When and When Not To Use it", Proc. Of the 1996 Convention of the Structural Engineering Association of California, Maui, Hawaii, October 2-4, PP. 17-36.

۴- روشن، رامین؛ سروقد مقadem، عبدالرضا. "کاربرد آنالیز استاتیکی فراینده غیرخطی در ارزیابی لرزه ای ساختمانها"، جلد اول، اولین کنفرانس علمی - تخصصی انجمن مهندسان راه و ساختمان ایران، تهران، ۱۳۷۸.

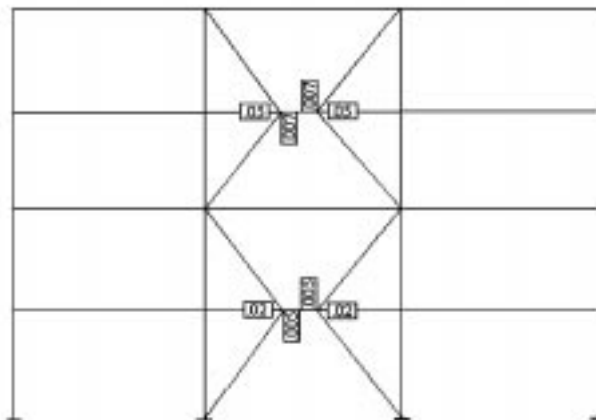
5-Kim, S. D. Hong, W. K. & Ju, Y. K. (1999), "A Modified Dynamic Inelastic Analysis of Tall Buildings Considering Changes of Dynamic Characteristics", The Structural Design of Tall Buildings, Vol. 8, No. 1, PP. 57-73.

۶- آیین نامه طرح ساختمانها در برابر زلزله، ویرایش دوم، ۱۳۷۶.

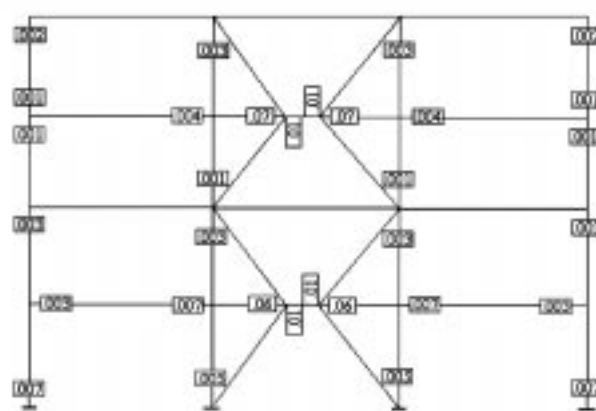
7-Krawinkler, H. & A. Al. Ali. (1996), "Seismic Demand Evaluation for a 4-Story Steel Frame Structure Damaged in the Northridge Earthquake", The Structural Design of Tall Buildings, Vol. 5, No. 1, PP. 1-27.

* R.Roshan@Engineer.com

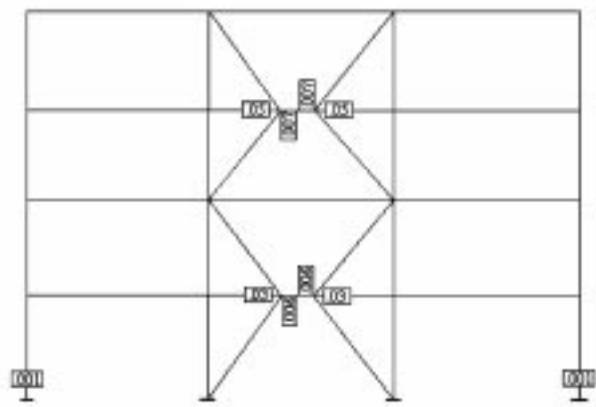
* moghadam@dena.iiees.ac.ir ◀



شکل (۸، ث): نحوه توزیع و دامنه چرخش مفاصل پلاستیک- زمین لرزه استندر



شکل (۸، ج): نحوه توزیع و دامنه چرخش مفاصل پلاستیک- زمین لرزه سانفرناندو



شکل (۹): نحوه توزیع و دامنه چرخش مفاصل پلاستیک- تحلیل استاتیکی غیرخطی

۸- نتیجه

میزان صحت نتایج تحلیل استاتیکی غیرخطی تابعی از انتخاب صحیح الگوی بار و تغییر مکان هدف می باشد. اعمال ضریب تصحیح